

Данная проблема касается и Украины, несмотря на то, что интенсивность воздушного движения на воздушных трассах Украины в настоящее время мала, но в будущем Украине все же предстоит столкнуться с этой проблемой.

Список литературы

1. *Методика* определения минимумов эшелонирования, применяемых для разделения параллельных линий пути в структурах маршрутов ОВД. Циркуляр 120-AN/89/2. – ICAO. – Монреаль, 1976. – 238 с.

Стаття надійшла до редакції 11 липня 2000 року.

УДК 533.607.13/G21.31

В 253.315 - 01-07 6738 +

053.41-089.0316 738

В.В. Панин, И.Ф. Кинашук, В.И. Орланов, А.Д. Донец

РАЗРАБОТКА ПРОГРАММЫ ДЛЯ МОДЕЛИРОВАНИЯ ЭЛЕКТРОГАЗОДИНАМИЧЕСКОГО ТЕЧЕНИЯ В ИОННОМ АНЕМОМЕТРЕ

Приведено математическое описание явления сноса потока ионов коронного разряда при взаимодействии с газодинамическим потоком в разрядном промежутке «игла-плоскость», которое положено в основу создания ионного анемометра.

Ионная анемометрия используется для измерения скорости потоков воздуха в атмосфере и для измерения скорости полета летательных аппаратов вертикального взлета и посадки [1]. Для безынерционного измерения локальной скорости и ускорения высокотурбулентных и знакопеременных потоков в проточной части газотурбинного двигателя разрабатывается ионный анемометр. Предлагается интегрировать датчик в автоматизированную систему ранней диагностики состояний авиационного двигателя в масштабе реального времени на основе контроля быстропротекающих процессов с применением математических моделей авторегрессионного анализа динамического сигнала измерения локальной скорости потока. В основу создания датчика положено явление сноса потока ионов коронного разряда при взаимодействии с газодинамическим потоком в разрядном промежутке "игла-плоскость".

Электрогазодинамическое (ЭГД) течение в ионном анемометре описывается следующей системой уравнений [2]:

$$\begin{aligned} V &= V_0 + V_e; \\ V_e &= kE; \end{aligned} \quad (1)$$

$$\begin{aligned} \operatorname{div} E &= \rho/\epsilon_0; \\ \operatorname{div} j &= -\delta\rho/\delta t; \end{aligned} \quad (2)$$

$$j = \rho V = qnV, \quad (3)$$

где V – вектор средней скорости ионов; V_0 – вектор средней скорости потока воздуха; V_e – вектор средней скорости дрейфа ионов в электрическом поле; k – средняя подвижность ионов воздуха; E – вектор напряженности поля; ρ – пространственная плотность заряда; $\epsilon_0 = 8.855 \cdot 10^{-12}$ – электрическая постоянная, Ф/м; j – вектор плотности тока; t – время; q – заряд одного иона; n – концентрация ионов.

Кроме того, на коронирующем электроде должно выполняться условие самостоятельности разряда [2; 3]:

$$\int_0^{l_{кр}} \alpha_{эф} dl = \ln N_{кр}, \quad (4)$$

где $l_{кр}$ – критическая длина лавины электронов; $\alpha_{эф}$ – эффективный коэффициент ионизации; l – расстояние от электрода до силовой трубки; $N_{кр}$ – критическое число электронов в лавине.

Задача расчета ЭГД течения (рис.1) относится к классу наиболее сложных самосогласованных задач, которые удается решать только приближенно, с определенными допущениями.

Современному состоянию исследований коронного разряда соответствуют следующие допущения [2;3].

1. Подвижность k в уравнении (1) принята не зависящей от E .

2. Коронный разряд рассматривается как униполярный, стационарный, т.е. содержащий ионы одного знака, концентрация которых в данной точке постоянна во времени (в уравнении (2) $\delta\rho/\delta t = 0$).

3. Зависимость $\alpha_{эф}(E)$ аппроксимируется эмпирической формулой вида

$$\alpha_{эф} = \alpha_0 \gamma (E/\gamma - E_{кр})^2,$$

где $\alpha_0 = \text{const}$; γ – относительная плотность воздуха; $E_{кр} = \text{const}$.

4. Для расчета электрического поля коронного разряда применен метод Дейча-Попкова, основанный на допущении, что объемный заряд ионов не искажает конфигурацию силовых линий электрического поля.

5. Снос ионов по различным силовым линиям в общем случае различен. При этом распределение плотности тока по плоскости становится несимметричным. Однако, поскольку методика учета данного явления не разработана, в качестве первого приближения принято, что снос ионов по всем силовым линиям одинаков и не влияет на плотность тока по данной трубке. Это позволяет использовать эмпирическую формулу Верещагина [3], которая с учетом схода ионов C_n принимает вид

$$j = \frac{j_m}{\left[1 + (0.85/K_j) \left(x^2 + (y - C_n)^2/H\right)^2\right]^3}, \quad (5)$$

где j_m – плотность тока на плоскости по центральной силовой линии, определяемая по методу Дейча-Попкова; $K_j = 1 \dots 1,5 \cdot 10^2 r_3$ – поправочный коэффициент, учитывающий влияние радиуса закругления иглы r_3 и проявляющийся только при $r_3 > 0,15$ мм; $C_n = V_0 H^2 / 0,9 k U_0$; H – расстояние от иглы до плоскости; U_0 – напряжение коронирующего электрода.

6. Игла и заземленная плоскость аппроксимируются двумя гиперboloидами вращения, один из которых вырожден в плоскость. Из этого допущения и допущения 4 вытекает, что электрическое поле обладает осевой симметрией. Следовательно, не учитывается искажение электрического поля в результате сноса ионов потоком воздуха.

Переход от системы уравнений в дифференциальной форме к расчетным формулам происходит следующим образом.

Обычно при использовании метода Дейча-Попкова распределение напряженности поля вдоль силовой трубки рассчитывают по формуле [3]:

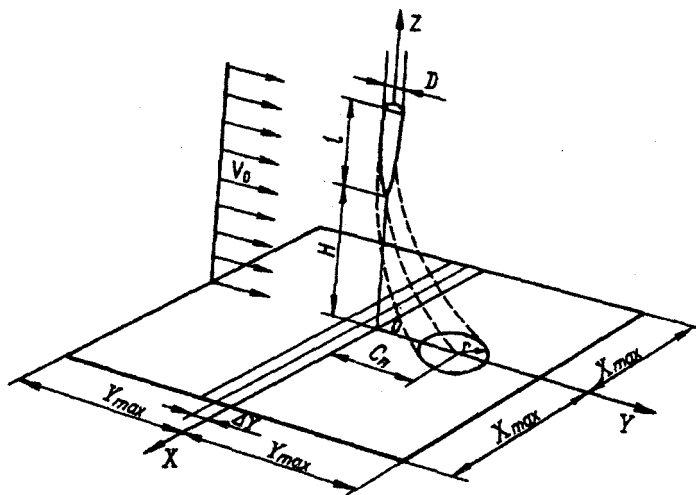


Рис. 1. Графическое представление ЭГД течения

$$E = E_1 \sqrt{\left(\frac{E_3}{E_{13}}\right)^2 + \frac{2j_n}{k\epsilon_0 E_{1n}} \int_0^l \frac{dl}{E_1}}, \quad (6)$$

где E_1 , E_{13} , E_{1n} – напряженность электростатического поля без короны в промежутке у поверхности игольчатого электрода и у плоскости соответственно; E_3 – начальная напряженность электростатического поля на электроде, соответствующая условию самостоятельности разряда (6); j_n – плотность тока ионов у плоскости.

Формула (6) может быть упрощена и одновременно уточнена. Действительно, согласно рис.2, используя известную теорему Гаусса в интегральной форме

$$\oint E dS = Q/\epsilon_0,$$

где S – площадь критического сечения трубки; Q – заряд внутри рассматриваемого объема, для элемента трубки длиной dl можно записать

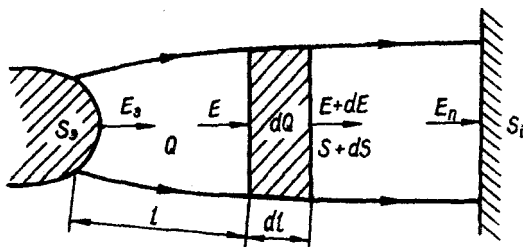


Рис. 2. Расчет поля объемного заряда

$$(E + dl)(S + dS) - ES = \frac{qn(S + S + dS)/2dl}{\epsilon_0} = \frac{dQ}{\epsilon_0}.$$

Пренебрегая слагаемыми второго порядка малости, с учетом уравнения (3) получаем:

$$SdE + EdS = \frac{qnSdl}{\epsilon_0} = \frac{jSdl}{kE\epsilon_0} = \frac{dQ}{\epsilon_0}. \quad (7)$$

Если принять допущение $EdS = 0$, то с учетом соотношения $j/j_n = E_1/E_{1n}$, которое

вытекает из сущности метода Дейча–Попкова, из формулы (7) следует

$$EdE = \frac{jSdl}{k\epsilon_0} = \frac{j_{1n}E_1 dl}{kE_{1n}\epsilon_0}.$$

Однако допущение $EdS = 0$ равносильно условию $S = \text{const}$, что в общем случае не соблюдается. Поэтому точнее использовать теорему Гаусса для элемента трубки длиной l (рис.2), что дает

$$ES - E_3 S_3 = Q/\epsilon_0,$$

где согласно формуле (7)

$$Q = \int_0^l \frac{jSdl}{kE} = \frac{I}{k} \int_0^l \frac{dl}{E}, \quad (8)$$

где $I = jS = \text{const}$ – ток ионов в данной силовой трубке.

Учитывая вытекающие из теоремы Гаусса при отсутствии короны соотношения: $S/S_n = E_{1n}/E_1$ и $S_3/S_n = E_{1n}/E_{13}$, получаем расчетную формулу

$$E = E_1 \left(\frac{E_3}{E_{13}} + \frac{Q}{S_n E_{1n} \epsilon_0} \right), \quad (9)$$

где заряд Q определяется согласно уравнению (8).

Интеграл, входящий в формулу (8), учитывает распределение напряженности E_1 , которое вследствие самосогласованности задачи итерационно уточняется. Потенциал гиперболоида с параметром λ равен [3]

$$U = U_0 \frac{\ln[(b + \lambda)/(b - \lambda)]}{\ln[(b + H)/(b - H)]}, \quad (10)$$

где U_0 – потенциал коронирующего электрода; b – фокусное расстояние гиперболоида вращения;

$$b = H \sqrt{\frac{F(L/H) + (D/2H)^2}{F(L/H)}}, \quad (11)$$

где $F(L/H) = \left(\frac{L}{H} + 1\right)^2 - 1$; D – диаметр иглы на расстоянии L от её конца.

Длина свободного пробега иона

$$\lambda = \sqrt{\frac{c^2 - c_k}{2}}, \quad (12)$$

где $c^2 = b^2 + x^2 + y^2$; $c_k = \sqrt{c^4 - 4b^2x^2}$; x, y – координаты точки на конце иглы.

При расчете подвижности ионов для различных давлений и температур использовано уравнение Ланжевена и на его основе выведена формула

$$k = k_0 (p_0/p) \sqrt{T/T_0}, \quad (13)$$

где $k_0 = 1,6 \dots 2,1 \cdot 10^{-4} / \text{м}^2 (\text{В} \cdot \text{с})$; $p_0 = 101,3$ кПа, p – давление, кПа; T – температура, К; $T_0 = 293,15$ К.

Расчетное значение полного тока определяется формулой

$$I = \int_0^{Y_{\max}} j 2\pi r dr = \sum_{r=0}^{Y_{\max}} \frac{2\pi r j_m \Delta r}{\left[1 + (0,85/K_j)(r/H)^2\right]^3}, \quad (14)$$

ток одной полоски плоского электрода шириной $\Delta y = 1$ (см. рис.1):

$$I_1 = \int_{-X_{\max}} j dx; \quad (15)$$

ток левой половины плоского электрода:

$$I_{\text{л}} = \int_{-Y_{\max}}^0 \int_{-X_{\max}}^{X_{\max}} j dx dy; \quad (16)$$

ток правой половины плоского электрода:

$$I_{\text{п}} = \int_0^{Y_{\max}} \int_{-X_{\max}}^{X_{\max}} j dx dy, \quad (17)$$

где X_{\max}, Y_{\max} – максимальные координаты точки на конце иглы; r – расстояние от оси симметрии; $\Delta r = 0,1$ мм.

Уравнения (5), (8) – (17) составляют рабочую систему для программы igl3 на языке Q-BASIC, позволяющей моделировать процессы перераспределения ионного потока между заземленными электродами в ионном анемометре при различных скоростях, давлениях, температурах, конфигурации коронирующего электрода, линейных размерах разрядного промежутка.

Моделирование рабочего процесса в ионном анемометре идет по следующему алгоритму:

– ввод данных для расчета: P – давление, T – температура, U_0 – напряжение коронирующего электрода, h – расстояние от иглы до плоскости, L – длина иглы, D – максимальный диаметр иглы;

– расчет фокусного расстояния гиперboloида вращения и построение на экране компьютера расчетного профиля электрода;

– построение эквипотенциалей с шагом $0,1U_0$ по известной методике [4];

– расчет распределения напряженности поля по центральной силовой линии без учета объемного заряда с использованием формулы

$$E = -\frac{dU}{d\lambda} = \frac{2b}{b^2 - \lambda^2} \frac{U_0}{\ln\left[\frac{b+H}{b-H}\right]},$$

где параметр $\lambda = z$ (см. рис.1);

– расчет критической напряженности поля путем повышения значения E_0 от значения $E_{кр}$ с шагом $\Delta E = 1$ кВ/мм до выполнения условия (4), причем интеграл в уравнении (4) вычисляется до $\alpha_{эф} = 0$, т.е. до $E = E_{прб}$ и тока ионов коронного разряда с использованием уравнений (8),(9) и условия

$$U = \int_l Edl; \quad (18)$$

– определение интеграла (18) по всей силовой линии, причем ток I , входящий в формулу (8), повышается от нуля до значения, при котором соблюдается равенство (18), с шагом $\Delta I = 0,1$ мкА;

– ввод значения V_0 и расчет траектории ионов с учетом действительного распределения поля по центральной силовой линии при наличии объемного заряда, полученного на предыдущем шаге;

– определение сноса ионов C_n (как текущей координаты Y при $Z = 0$);

– расчет токов I_1, I_L, I_R по формулам (15), (16), (17).

На рис. 3 показан пример моделирования по программе igl3.

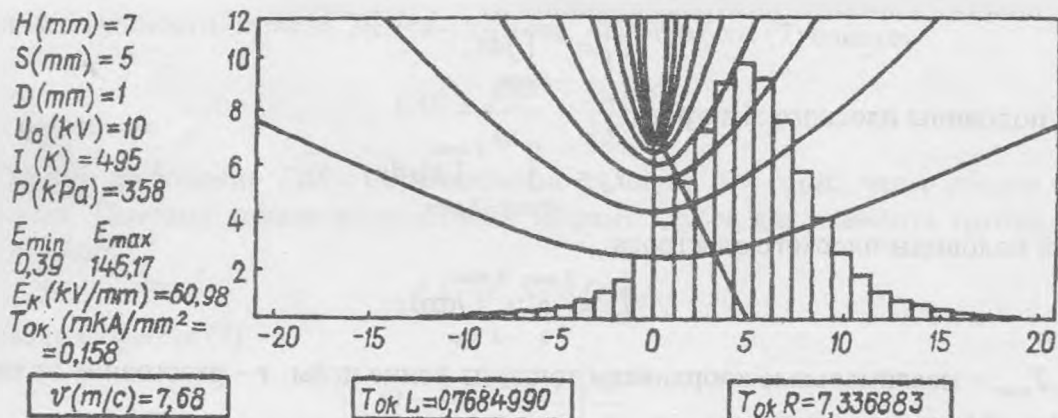


Рис. 3. Моделирование рабочего процесса

Моделирование рабочего процесса ионного анемометра подтвердило возможность использования ионной анемометрии для измерения скорости потока воздуха в проточной части газотурбинного двигателя. Использование данной программы позволяет ускорить процесс создания ионных анемометров.

Список литературы

1. Ионный анемометр. Патент. США N35647, 1984.
2. Остроумов Г.А. Взаимодействие электрических и гидродинамических полей. Физические основы электрогидродинамики. – М.: Наука, 1979. – 320 с.
3. Верецагин И.П. Коронный разряд в аппаратах электронно-ионной технологии. – М.: Энергоатомиздат, 1985. – 160 с.
4. Расчеты электростатических полей на персональном компьютере / О.С. Ильенко, В.И. Шеховцов. – К.: УМК ВО, 1991. – 124 с.

Стаття надійшла до редакції 11 липня 2000 року.